

145015

87.108  
RTC  
13

153006

一九五六年全国鐵道科学工作会议  
論文报告叢刊  
(13)

# 土的剪切試驗比較報告



鐵道工程系

11

人民鐵道出版社

87.108  
RTC



一九五六年全国铁道科学工作会议论文报告集刊  
(13)

### 土的剪切试验比较报告

一九五六年全国铁道科学工作会议论文编审委员会编  
人民铁道出版社出版  
(北京市霞公府17号)

北京市书刊出版营业登记证字第010号

新华书店发行  
人民铁道出版社印刷厂印  
(北京市建国门外七里庄)

1957年6月第1版第1次印刷

平装印1—1,000册

书号：763 开本：787×1092 印张：14 千定价（9）元

统一书号：15013·316

## 前　　言

1956年全国铁道科学工作会议征集了技术报告、总结、论文三百余篇。它的内容，包括铁路业务的各个方面，基本上显示着全体铁路技术人员和有关高等学 校教师们几年来在科学技术方面辛勤劳动的成果。对现场实际工作有参考价值， 对铁路新技术的采用和发展方向，有启示作用。为此，刊印叢刊，广泛传流，保存这一阶段内的科技文献，以推动科学的研究的进一步开展。

会议以后，我们对全部文件进行一次整编工作，然后组织部内设计总局、工程总局、工厂管理局、人民铁道出版社、车务、商务、机务、车辆、工务、电务等各局、铁道科学研究院、北京、唐山铁道学院、同济大学、大桥、定型、电务等设计事务所的有关专业同志对每篇内容仔细斟酌，选择其中对目前铁路业务有广泛交流意义，或是介绍铁路新技术方向、和系统的经验总结，将性质相近的文件合订一册，单独发行。为了避免浪费，凡是其他刊物或是以其他方式刊印过的文件，除特殊必要外，一般都不再刊载。出版顺序根据编辑和定稿的先后，排定叢刊号码，交付印刷，并无主次之分。

苏联铁道科学代表团在会议期间曾经做过九次学术报告，我们已将文字整理，编入了叢刊。

文件中的论点，只代表作者意见，引用或采用时，还应由采用人根据具体情况选择判断。

叢刊方式还是一种尝试，我们缺少经验，希望读者提供意见，逐步的改进。

铁道部技术局

1957年2月

# 土的剪切試驗比較報告

周 鏡 楊 偉

粘性土的抗剪強度測定方法，目前還存在着許多不同的看法。各國的學者正在這方面——粘性土的抗剪強度理論和測定方法——進行着長期的、大量的研究工作。在未得到肯定的結果前，仍須採用現有的方法進行試驗，其中以直接剪切法較為普遍和簡單。現場各試驗室，因採用的資料來源不同，對直接剪切試驗所採用的方法亦不統一，因此有必要對於各種資料中有關剪切試驗方法的同異處予以研究，提供現場參考。

目前直接剪切試驗方法中存在的主要差別有：（一）控制試樣密度的方法——超壓密法或正常壓密法；（二）試驗終結的標準；（三）水平剪應力增加的標準；（四）應力式和應變式的比較問題。根據這些問題以及土壤制樣等問題進行了一系列比較試驗，並得到了初步的結果。

## （一）試樣密度的控制

現行的兩種控制試樣密度的方法是：（1）超壓密法；（2）正常壓密法。

超壓密法系將試樣在較大的垂直壓力，如 $4 \sim 6$  公斤/公分<sup>2</sup>下使其固結，然後將垂直壓力退減到較小的、不同的壓力下進行剪切試驗。正常壓密法即過去通用的方法，將試樣在不同的壓力下壓密，然後即在該壓力下進行剪切。因為它們的物理意義不同，兩種方法所得結果也不同。對於同一土樣，前者所得凝聚力系数  $C$  的值大，剪切角  $\phi$  的值較小；而後者所得的  $C$  值相對的小些， $\phi$  值則較大些。這種現象可以從土的壓縮曲線特性中得到解釋。

在固結試驗中，將土樣逐漸加荷到某一荷重，然後再依次卸荷，這樣可以得到一組壓密和膨脹曲線。正常壓密下所得試樣的密度是沿着壓密曲線改變，而超壓密所得試樣的密度是隨着膨脹曲線改變。因此超壓密的試樣在同一垂直壓力下它的開始密度（剪切前）比正常壓密的大。由於相應各點的密度不同，因此在剪切圖上超壓密的剪切曲線比較緩，而正常壓密的曲線較陡，如圖 1 所示。

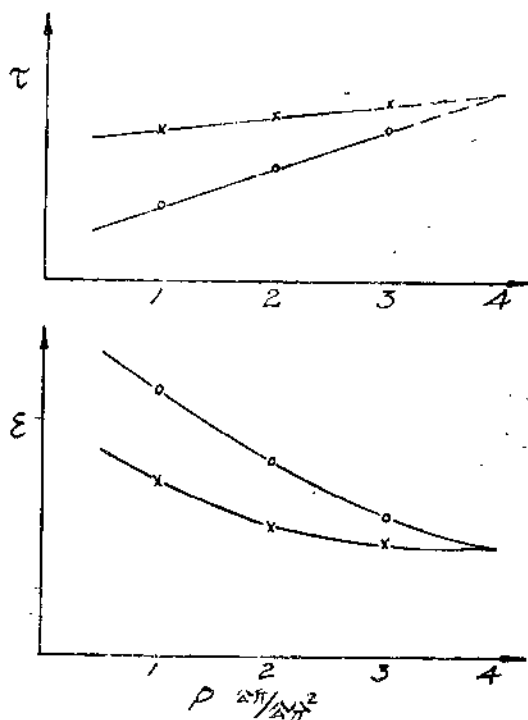


圖 1

正常压密的試樣各點的開始密度有顯著的差別，因此从剪切圖中所得到的 $C$ 和 $\phi$ 值，僅代表試樣強度和壓力間的參變數，不能把它認為是土的真正凝聚系數和內摩擦角。超壓密法中試樣各點的密度比較相近，一般將這種方法所得到的 $C$ 和 $\phi$ 作為土樣在超壓密壓力狀態下的凝聚系數和內摩擦角，事實上，超壓密法中有許多問題，尚須進一步研究。

- (1) 超壓密法的各點的開始密度並不完全相同，超壓密壓力愈小，則這種差別愈大。
- (2) 超壓密法所得的 $C$ 值偏大，在實際應用時，如何正確的選定 $C$ 的數值尚存在著一些問題。
- (3) 原狀土作超壓密試驗缺乏明確的物理意義。由上可知超壓密法所得結果，在應用時有困難。同時土力學中有關穩定性的理論是建立在庫倫定律的基礎上，而正常壓密法所得土的抗剪強度的指標符合這一要求，因此在經常試驗中仍應採用正常壓密法。

## (二) 試驗終結的標準

現有資料中，對試驗終結標準有兩種不同的規定。一種是以試樣完全剪壞作為試驗終結的標準；另一種是規定剪壞或者剪變形超過2公厘時作為終結的標準，不考慮試樣面積大小對剪變形的影響〔1〕。當總剪變形大於2公厘時，兩種標準所得結果顯然不同。此時，以剪變形超過2公厘作為終結標準所得每個點的強度較之完全剪壞時為小，似乎這種規定偏於安全。但是，由於剪應力—應變曲線的性質非常複雜，因此強度的降低和所得的結果是否有規律，尚須深入研究。

在比較試驗中，曾用三種不同的土進行試驗，這三種土的一般物理性質如下表所示：

土類	液限	塑限	塑性 指數	比重	最佳 含水量	最佳 密度	產地	顆粒分析			
								>0.5	0.5~0.05	0.05~0.005	<0.005
B號土	29.7	19.1	10.6	2.06	16.3	1.81	北京	0	29	49	22
白粘土	38.2	19.0	19.2	2.67	19.0	1.73	廣東	0	9.5	27	63.5
紅粘土	71.0	43.0	28	2.79	33.0	1.35	湖北咸寧	0	6	53	38

試驗時，所有試樣都以完全剪壞為終結標準，然後根據剪變形的數據來分析第二種規定所得的結果。將剪變形超過2公厘時土的強度與最終強度比較，發現強度的降低和 $C$ 、 $\phi$ 的

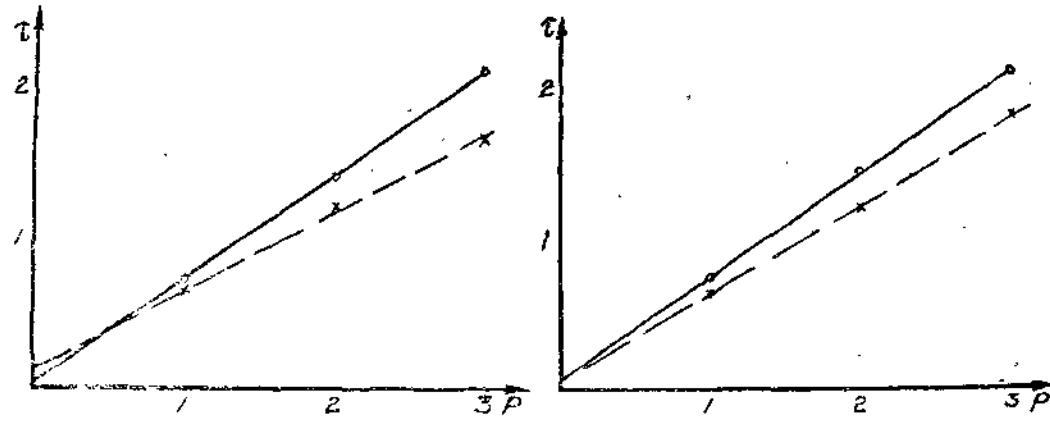


圖 2

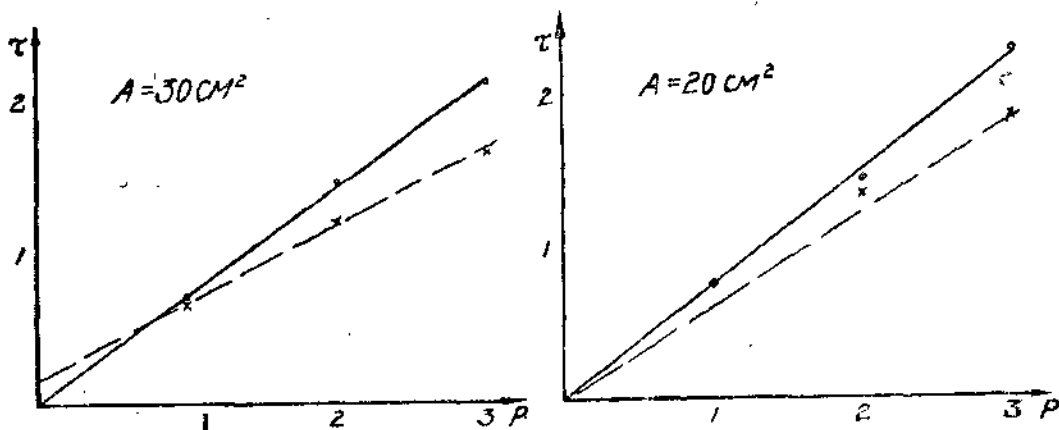


圖 3

數值都沒有一定的規律。部分的試驗結果如圖 2 和圖 3 所示。

圖 2 是用靜壓制成的兩組相同試樣的試驗結果。兩組試驗的水平剪应力增加的規定略有不同。左圖結果是按方法 I 增加剪应力，而右圖結果是按方法 II 進行（方法的說明和影響見第（三）節）。圖中實線和圓點所表示的結果是以完全剪壞作為終結標準，而  $\times$  和虛線是表示以 2 公厘剪變形為終結標準時所得結果。前者所得結果非常相近，而後者所得結果沒有規律，在其他試驗結果中也有這種現象。在左圖中，由於採用第二種規定，所得內摩擦角雖然減小，但  $C$  值有所增加。這樣，在實際應用中可能偏於不安全。

圖 3 是液限狀態的 B 号土在兩種不同面積的剪切箱中所得的試驗結果。所用符號與圖 2 相同。從試驗結果可見，以 2 公厘剪變形作為終結標準時，所得結果是不完全可靠的。液限狀態土的剪切曲線應通過原點，而後者顯示出不同的結果。

### （三）水平荷重增加的規定

現有資料中，關於在慢剪中增加水平荷重的等級的規定各自不同，因此各試驗室所採用的方法也不統一。目前最普遍的規定有三種：

**方法 I：**開始剪切時，水平荷重每級的增加為該試驗垂直荷重的 10%；待變形顯著增加時，將下一級增加的水平荷重減小到垂直荷重的 5%，直到試驗終了〔1〕。

**方法 II：**第一個水平荷重為垂直荷重的 10%，第二個增加的水平荷重減小為垂直荷重的 5%，以後保持不變，待接近於破壞時，將每級增加的水平荷重減小為垂直荷重的 2~3%。

在做以後的土樣試驗時，即在較大的垂直荷重下做試驗時，第一個水平荷重採用為前一次試驗所得最終強度的 60%，第二個增加的水平荷重仍令其等於該試驗垂直荷重的 5%。以後相同〔2〕。

**方法 III：**每級水平荷重增加程序全等於該試驗垂直荷重的 5%，直到試樣接近破壞時，再減小到該試驗垂直荷重的 2~3%〔6〕。

為了進行比較試驗，將上述三種土在液限和壓實或夯實後的狀態下用三種方法進行試

驗。試驗結果中的一部分資料列於下表以資比較。表中的組別一項是試驗室工作編號。抗剪強度的單位是每平方公分的公斤數值。

土種類	組別	垂 直 壓 力	開 始 含水率	開 始 隙 比	抗 剪 強 度	土 的 狀 态	試驗方法
白 土	(I)	1	23.8	0.71	0.45	夯實到土的最佳密度的 96%，開始含水率略大於 最佳含水率。 浸水飽和後進行慢剪。	III
		2	24.2	0.715	0.8		
		3	24.8	0.722	1.125		
	(II)	1	23.8	2.711	0.475		II
		2	—	—	0.825		
		3	24.6	0.718	1.175		
粘 土	(IV)	1	22.7	0.672	0.5*		I
		2	23.8	0.70	0.8		
		3	24.4	0.702	1.125		
	(II)	1	38.1	1.075	0.325	土在液限狀態下制樣 浸水飽和後進行慢剪。	III
		2	38.1	1.05	0.75		
		3	37.9	1.078	0.975		
B 号 土	(I)	1	38.3	1.02	0.375		II
		2	38.9	1.035	0.725		
		3	39.5	1.05	0.885		
	(IV)	1	17.6	0.628	0.75	靜壓到最佳密度約90%， 開始含水率略大於最佳含 水率。	III
		2	17.3	0.613	1.45		
		3	18.1	0.629	2.1		
粘 土	(III)	1	17.7	0.618	0.75*		II
		2	17.3	0.644	1.45		
		3	18.9	0.644	2.125		
	(V)	1	17.1	0.622	0.725		I
		2	17.9	0.632	1.4		
		3	18.3	0.623	2.1		
紅 粘 土	(V)	1	70.5	2.02	0.675	液限制樣，浸水飽和後進 行慢剪。 含水量略偏低。	III
		2	71.3	2.02	1.25		
		3	69.0	2.0	1.8		
	(III)	1	70.0	2.01	0.675		II
		2	71.0	2.01	1.25		
		3	70.0	2.01	1.875		
	(VI)	4	—	—	2.375		I
		1	70.5	1.985	0.675		
		2	70.6	2.02	1.3		
		3	—	—	1.8		

\* 制樣時多打一次擊，故密度、強度偏高。

三种方法試驗時的觀測和穩定標準完全相同，主要的區別是加荷等級不同。從上述試驗結果的分析，三種規定所得結果非常接近。雖然在有些結果中，方法Ⅰ所得強度有降低的趨勢，但這種趨勢並不顯著。方法Ⅱ所需的總試驗時間較其他兩方法為少，但相差也不到一倍。這樣不顯著的時間差別對結果的影響不太大是可以理解的。

方法Ⅲ的規定，要根據前一次試驗所得強度計算第一級水平荷重的數值。這樣則增加工作程序，同時也受前次試驗結果準確性的影响。方法Ⅲ操作簡便，但試驗所需時間較方法Ⅰ為長，而方法Ⅰ在操作上亦甚為方便，並可縮短操作時間。所得結果偏於安全。

#### (四) 填土試樣的制备

現場試驗室過去在制備填土試樣時，系將土樣在標準夯實儀中分三層夯到要求密度，然後从中取出三個試樣進行剪切試驗。這種方法存在着一些問題。在夯實儀中分三層夯實的土樣，每層的密度不同，愈向下密度愈大。因此所取的三個試樣的密度也不相同。並且一組試件在不同的取樣程序下可得到不同的結果，如按照層次將上、中、下三層的試樣分別在1、2和3公斤/公分<sup>2</sup>的垂直壓力下剪切；或者將同一組試件按下、中、上三層分別在1、2和3公斤/公分<sup>2</sup>的垂直壓力下剪切，這樣得到的結果完全不同。後者得到的剪切曲線較平緩，而前者所得曲線陡且可能截縱座標於原點之下。

為了保證填土試樣的密度的一致，必須利用小型的容器，制備單層的、適宜於切取一個剪切試樣的土樣。為了制備同一含水量和密度的試樣，可採用夯實和靜壓兩種方法。根據試驗的結果，在較高的含水量下制備試樣時，兩種方法制得的試樣具有相同的力學性質。圖4所示為自粘土和B號土在最佳含水量下，打到最佳密度的90%容重時，浸水慢試的結果。圖中圓點表示夯實制样的結果，而△表示靜壓制样的結果。由此可見，兩種制样方法所得結果，實際上沒有區別。但是，若在較低的含水量下制样時，兩種方法制得土样的結構不完全相同，經過放大鏡（20余倍）下檢查，靜壓制得的土样的邊緣部分，結構較不均勻。這是由於含水量少時，土不易搓勻，沿制样筒四周及底部，土團粒在壓力下不易分散。而夯实时，落錘的作用可促使土團粒的分散，因此夯實制得的土样的結構較為均勻。這種影響當試樣厚度增加時，更為顯著。

試樣制備後，內部水分的分佈不均勻，如果在霧室內放置數天後可促使水分的轉移，這樣可增加土的強度。因此試樣制備後即刻進行剪切試驗，所得結果偏於安全。至於填土的強度和時間的關係，填土的結構性等問題，對高填土的設計有顯著的影響有待於進一步的研究。

由於制样筒壁的摩擦，影響到土样的均勻性，故制備土样的尺寸應比較大些，以便從中部切取剪切試樣；同時土樣厚度不宜过大，以免發生密度由上而下的減小現象。

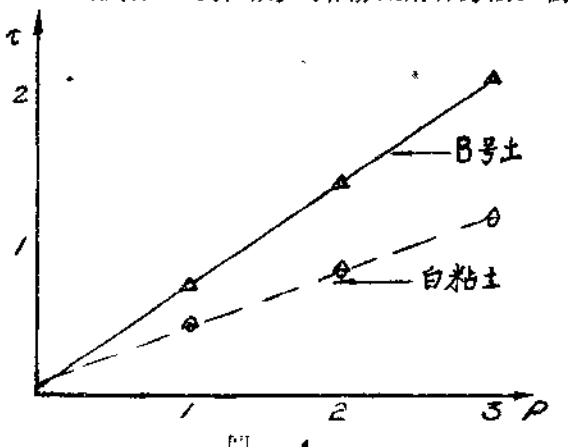


圖 4

## (五)应力式与应变式的比較

应变式剪切仪在苏联的資料中很少提及，但國內許多試驗室在使用这种仪器。铁路系統由於我院停止生產应力式圓箱剪切仪，因此也在补充南京水利實驗处設計的应变式剪切仪。在經常試驗中，兩种型式的設備能否同时应用是值得研究的。由於現用的应变式剪切仪沒有机动控制轉速的裝置，不宜於進行慢剪試驗，因此在比較兩种型式的試驗結果时，採用了固結快剪的方法。

南京水利實驗处設計的应变剪切仪的面積为32.2公分<sup>2</sup>，試样高度为2.5公分；而我院設計的圓箱剪切仪的面積为20公分<sup>2</sup>，試样高度为1.5公分。前者是下箱滑动，剪切时不抬高上箱；而后者是上箱滑动，剪切时抬高上箱，結構型式差別甚大。因此直接用这两种型式的仪器進行比較时，其中摻雜着許多複雜的因素。但是，在实际应用中，为了确定这两种型式的仪器能否同时应用，直接進行比較試驗仍有它实际的意义，当然这样比較的結果不能說明应力式和应变式剪切仪間的基本問題。

比較試驗所用試样系在液限狀態和在略高於最佳含水量下夯实到90%的最佳密度狀態下的三种粘性土。圖5是液限状态下三种土样的試驗結果。圖中圓点表示应力式所得的結果。×符号表示应变式所得的結果。圖6是夯实試样浸水固結快剪的試驗結果。其中圓点和实線表示应力式所得的結果，×符号和虛線表示应变式所得的結果。

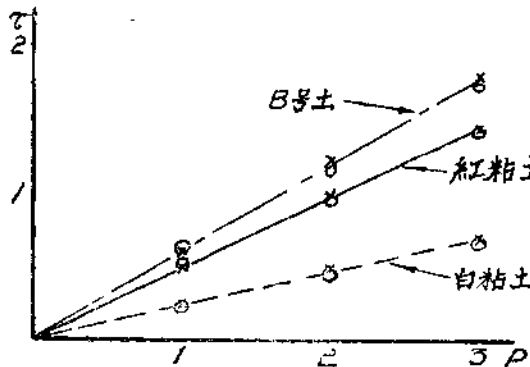


圖 5

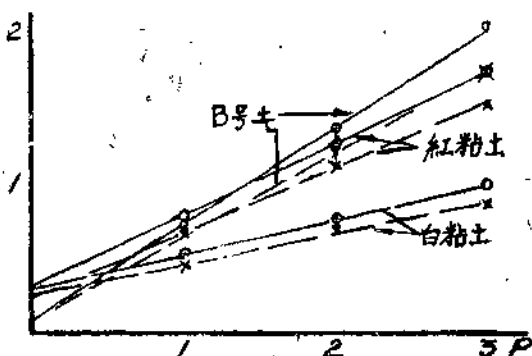


圖 6

应变式試驗的标准是採用每10秒鐘推進0.2公厘，应力式是每15秒鐘加一級水平荷重，使試驗在3~5分鐘內結束，每級荷重等於該試驗垂直荷重的5%。試驗終結时，以总的水平荷重減去最前一級荷重的一半作為計算強度。

从試驗結果可知：對於液限状态的土样，兩种型式的設備所得結果几乎相同；但對於夯实后的土样，则应力式所得强度比应变式高。这种現象和南京水利實驗处1954年的報告中的数据[5]相同。南實處報告中提到应力式下盒固定，拉上盒和应变式兩种仪器所得到的土的C和φ值非常相近（試样的面積和厚度相同）。但从它的原始資料中可知，所有应力式的仪器所得的各点强度都較之应变式为高（对夯实土）。根据我們的和南實處的試驗數據的分析，当土的强度愈大时，兩种仪器間的差別愈大。例如，南實處的報告中，用同一

种土，在不同的含水量下用相同下击次数制成試样比較，当含水量愈小时，强度愈大，则兩种仪器間的差別愈顯著。我們曾用三种不同的土比較，从圖 6 中也可看出，强度愈大的土，兩种仪器間的差別愈顯著。圖 6 中各組試驗所得抗剪强度參变数  $C$  和  $\phi$  的数值列於下表。

土类	等应力控制		等应变控制	
	$C$	$\phi$	$C$	$\phi$
白粘土	0.3	12°41'	0.25	11°19'
红粘土	0.3	25°24'	0.235	21°02'
B号土	0.1	32°	0.075	28°49'

在進行等应力固結快剪时，有的土当水平荷重增加到一定程度时，水平測微計轉动甚慢。此时，如果停止增加水平荷重，则剪变形繼續相當時間（數十秒鐘至一、二分鐘）后，試样即完全剪坏。但是，若当水平測微計轉动变快时，繼續按每15秒鐘增加水平荷重，则終結强度顯著增加。这种現象的發生主要是由於粘性土具有一定塑性变形的性質，因此試样的剪坏不是突然的出現，而是在剪变形發展到一定程度时然后發生完全破坏的現象。

上述現象对試驗結果影响的程度，可能和土的剪变形穩定的情况有关。B号土在增加每級水平荷重（慢剪）时，剪变形的数值虽然較小，但延續的時間較長，在固結快剪中，上述現象的影响也大；相反地，白粘土和紅粘土剪变形虽然大但穩定得較快，因而这种現象的影响也小。

同时，在等应力的試驗中，B号土的固結快剪和慢剪所得的强度非常相近。这也可能是由於它的剪变形特性的影响造成。

根据以上所述的情况，可以得到初步結論：在固結快剪时，等应力試驗的結果比等应力為大。兩种仪器所得結果的差別，不單純是受仪器本身和試驗方法的影响，而且和土的种类，土的状态有关。但是，估計这种影响在慢剪中將是不顯著的。

## (六) 結 論

- (1) 在經常試驗中，应採用正常压密法來控制試样的密度。
- (2) 慢剪时，应以試样完全剪坏作为試驗終結的标准，以剪变形超过 2 公厘作为終結標準的規定，將引起試驗結果的不規律性。
- (3) 根据三种增加水平荷重規定比較的結果，沒有顯著的差別。
- (4) 固結快剪时，等应力試驗的結果略大於等應變試驗的結果。这种差別不單純是受仪器本身和試驗方法的影响，而且和土的种类、状态有关系。但是估計这种影响在慢剪中將是不顯著的。
- (5) 等应力控制固結快剪时，水平荷重可均等的增加，当水平測微計轉動增快时，应停止加水平荷重，觀測試样的变形，如果变形顯著变慢或停止时，再繼續增加荷重。

## 参 考 文 献

- [1] В.Д. Ломтадзе, Методы лабораторных исследований физико-механических свойств песчаных и релистых грунтов, 1952.
- [2] Временная инструкция по определению сопротивления связных грунтов Сдвигу. Завод "Буровая техника" 1955.
- [3] Механика грунтов. цытович.
- [4] Н.М. Герсеванов, Теоретические основы механики грунтов, 1948.
- [5] 研究試驗報告彙編, 南京水利實驗處, 1954。
- [6] 土工試驗操作規程試行草案, 南京水利實驗處。
- [7] M.I.T. Soil testing for engineers, 1951.
- [8] E.S. Banber, Structure of disturbed soil. 2nd proc. Int. Conf. Soil mech., 1948.
- [9] K. Terzaghi, The shear resistance of saturated soils and the angle between the planes of shear, 1st Proc. Int. Conf. Soil. Mech., 1936.